

C D C

業者L.T.M. 1971.1.1. 1971.1.1. 1971.1.1.

橋 本 勉

F-1 1971.1.1. 1971.1.1. 1971.1.1.

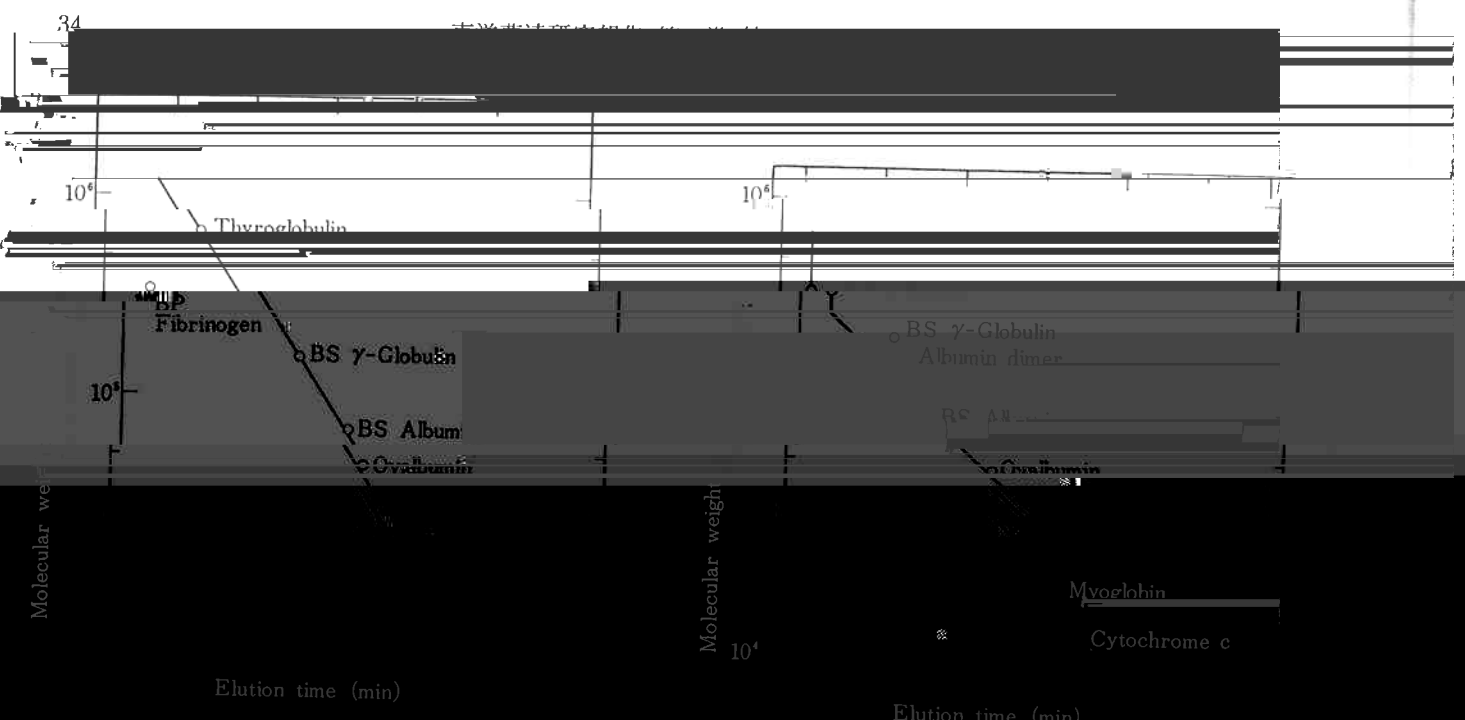
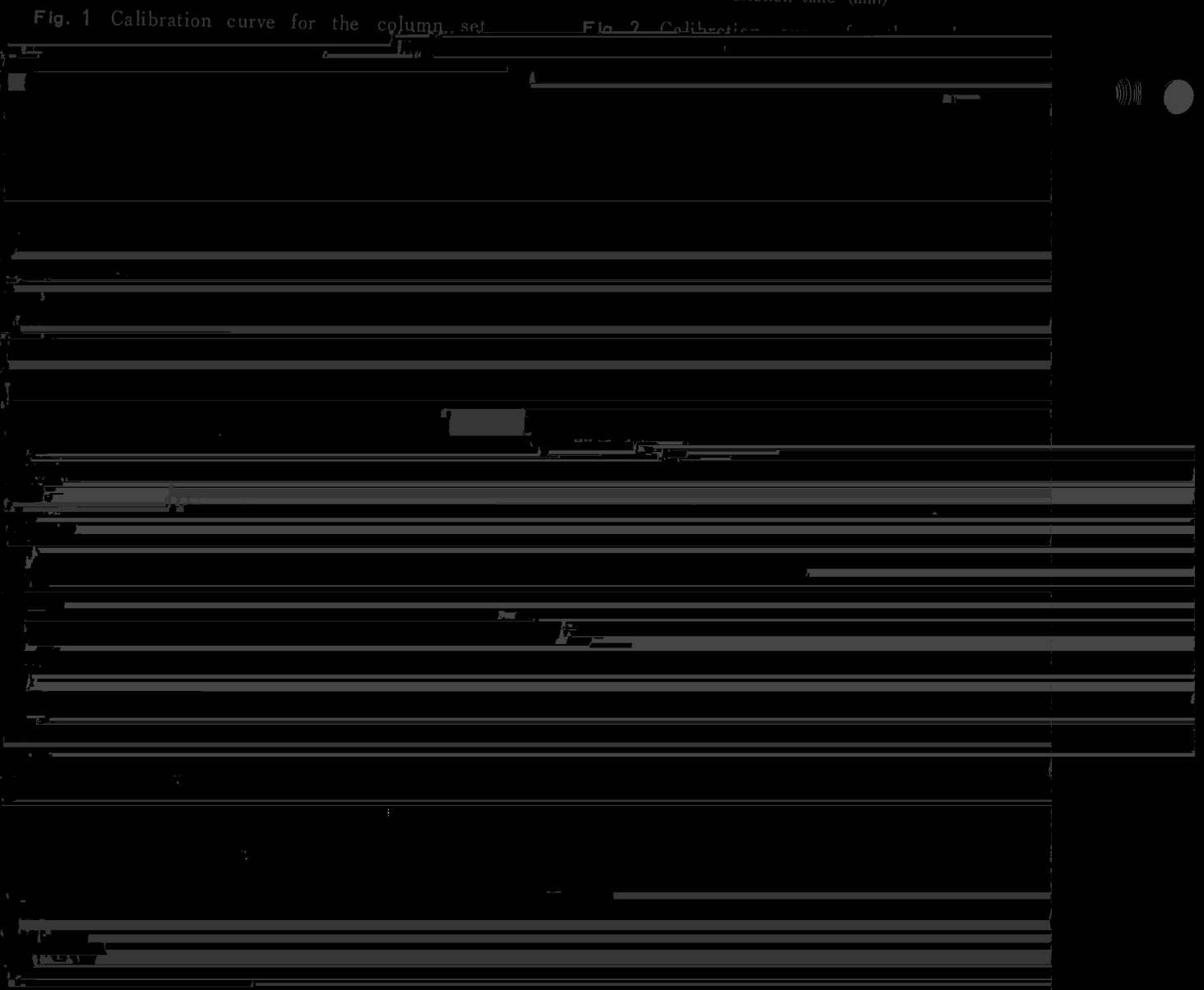


Fig. 1 Calibration curve for the column set

Fig. 2 Calibration curve for the column set



GPC-半導体測定器による多成分混合物の分析

(2)

S₄/S₅

Fig. 5 Depth logarithmic plot of a

ing■ to LALS and RI detectors, re-

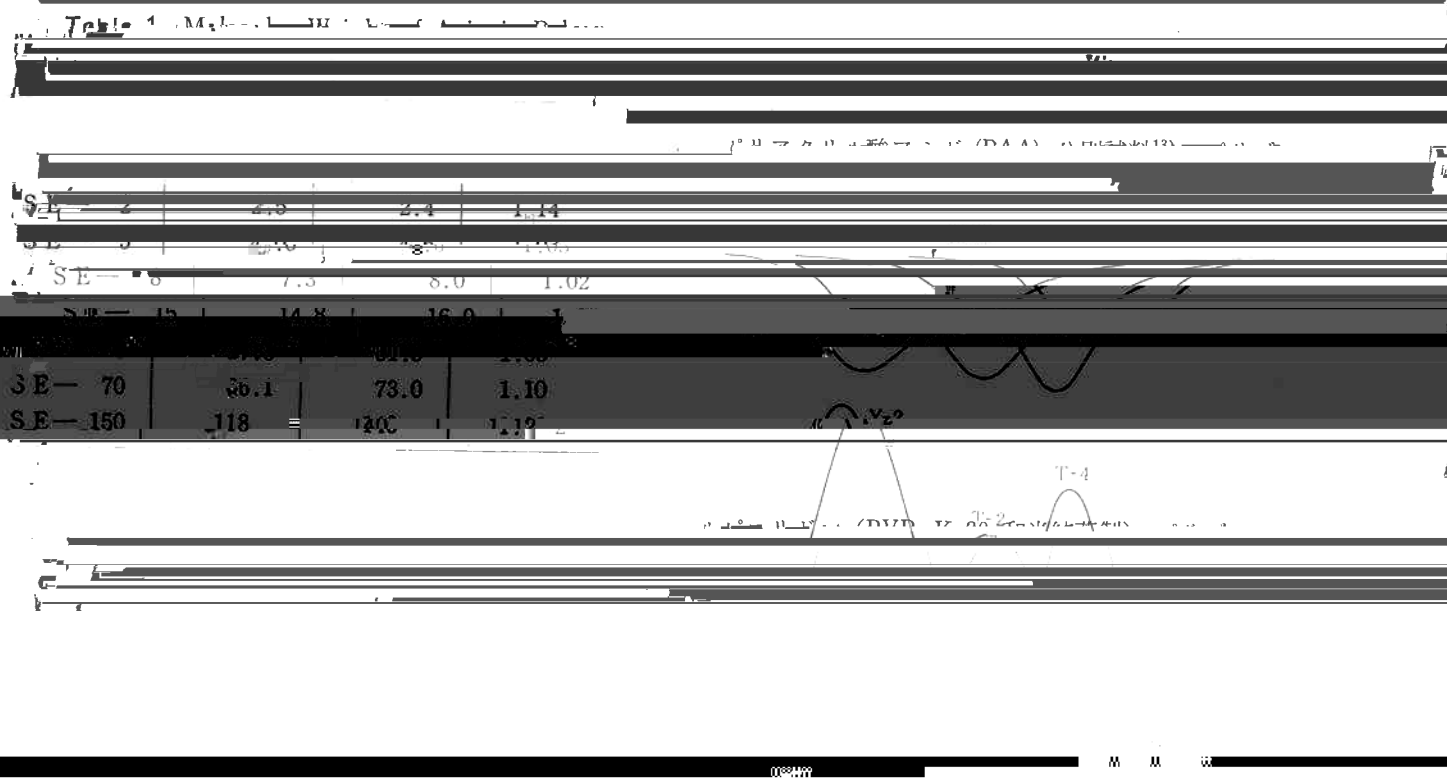
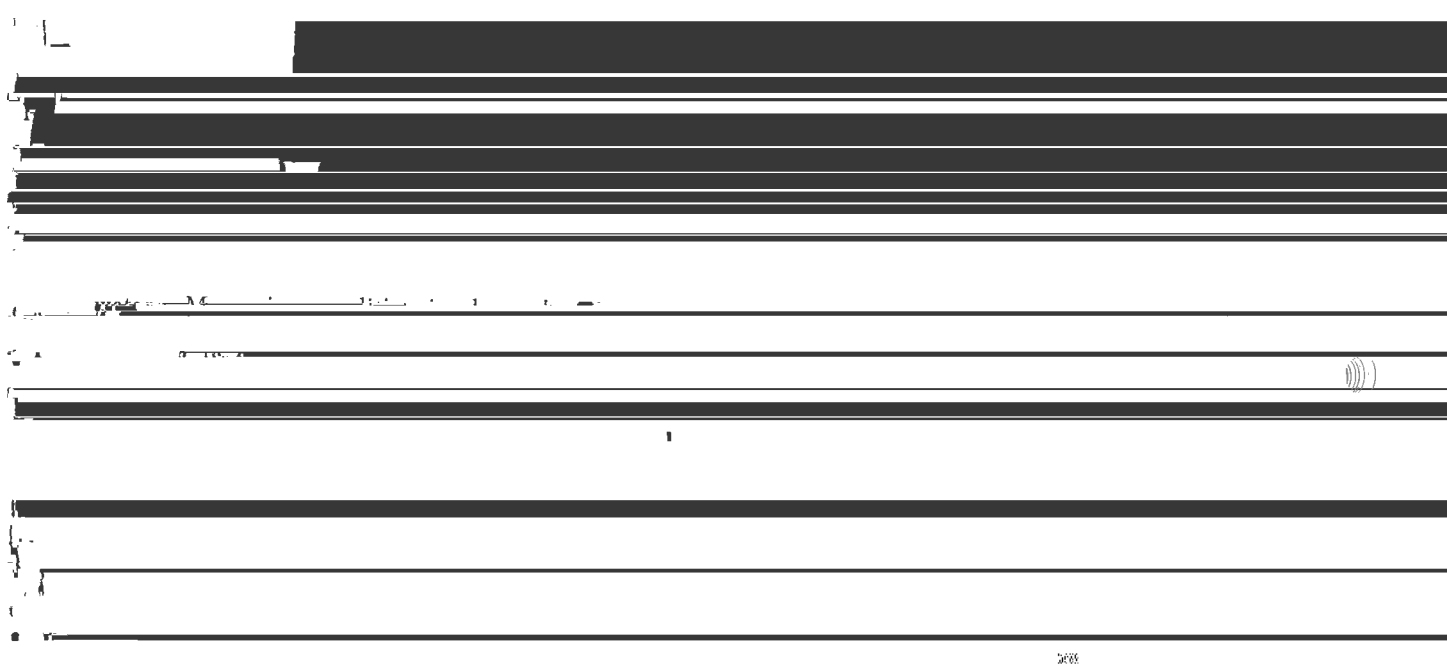
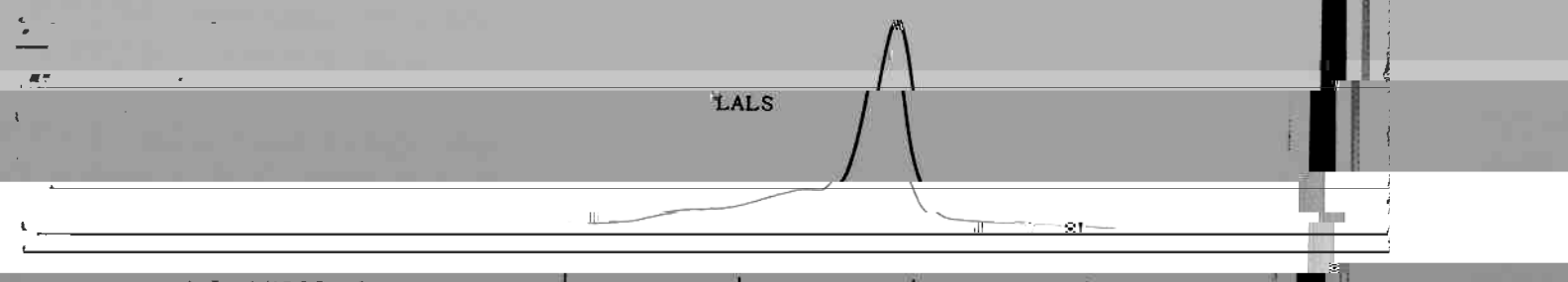
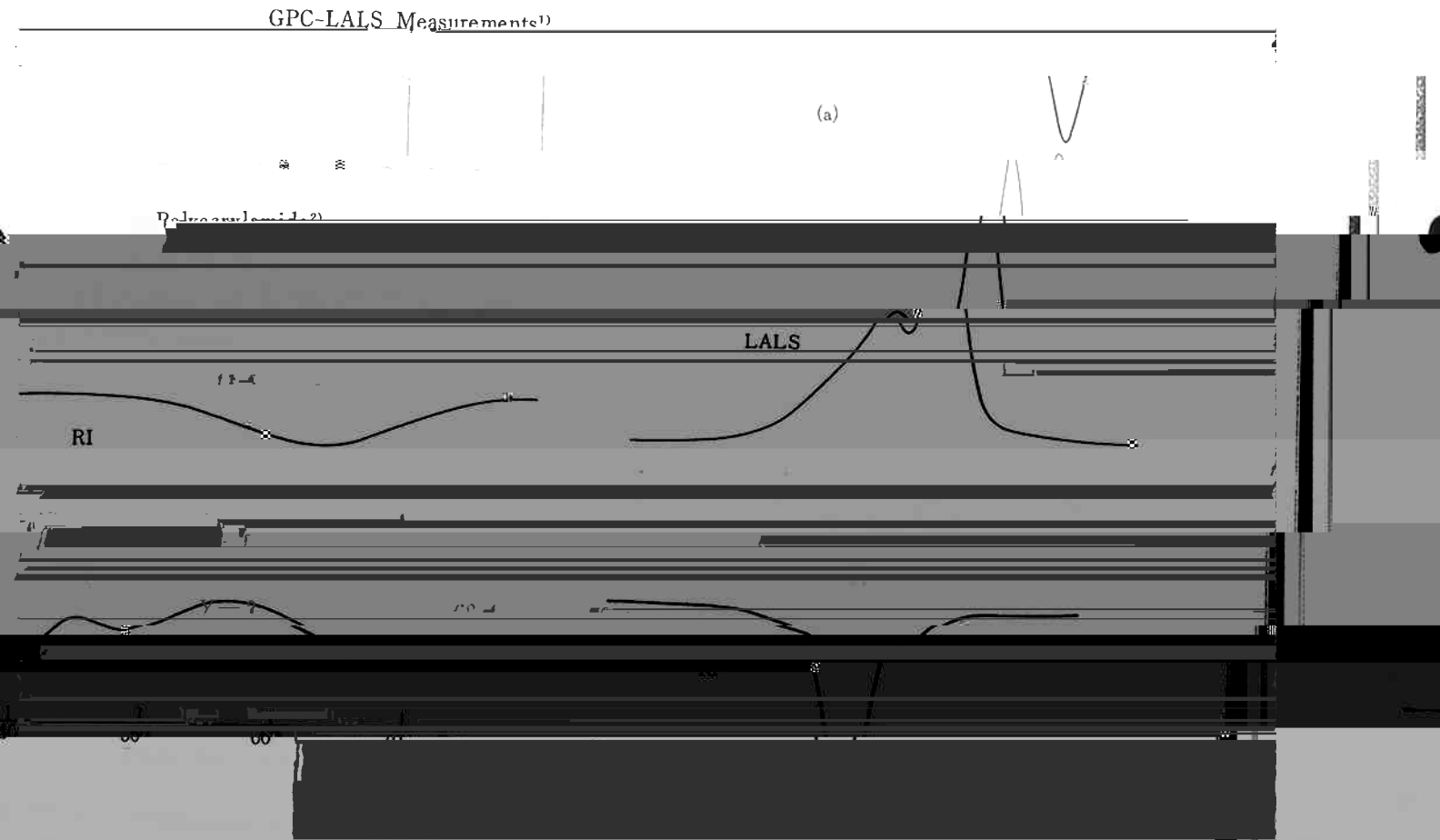


Fig. 1. Estimated frequencies of the seismic waves.



4.

Table 2 Molecular Weight (M_w) obtained by GPC-LALS Measurements¹⁾



マトグラムの低溶出量側にショルダー(2

有するところがある。これは試料中に存

在するものと思われるが、対応する溶

クロマトグラムにピークが存在しないか

対応する(2
次ピーク)

在する濃集

出位置の RI

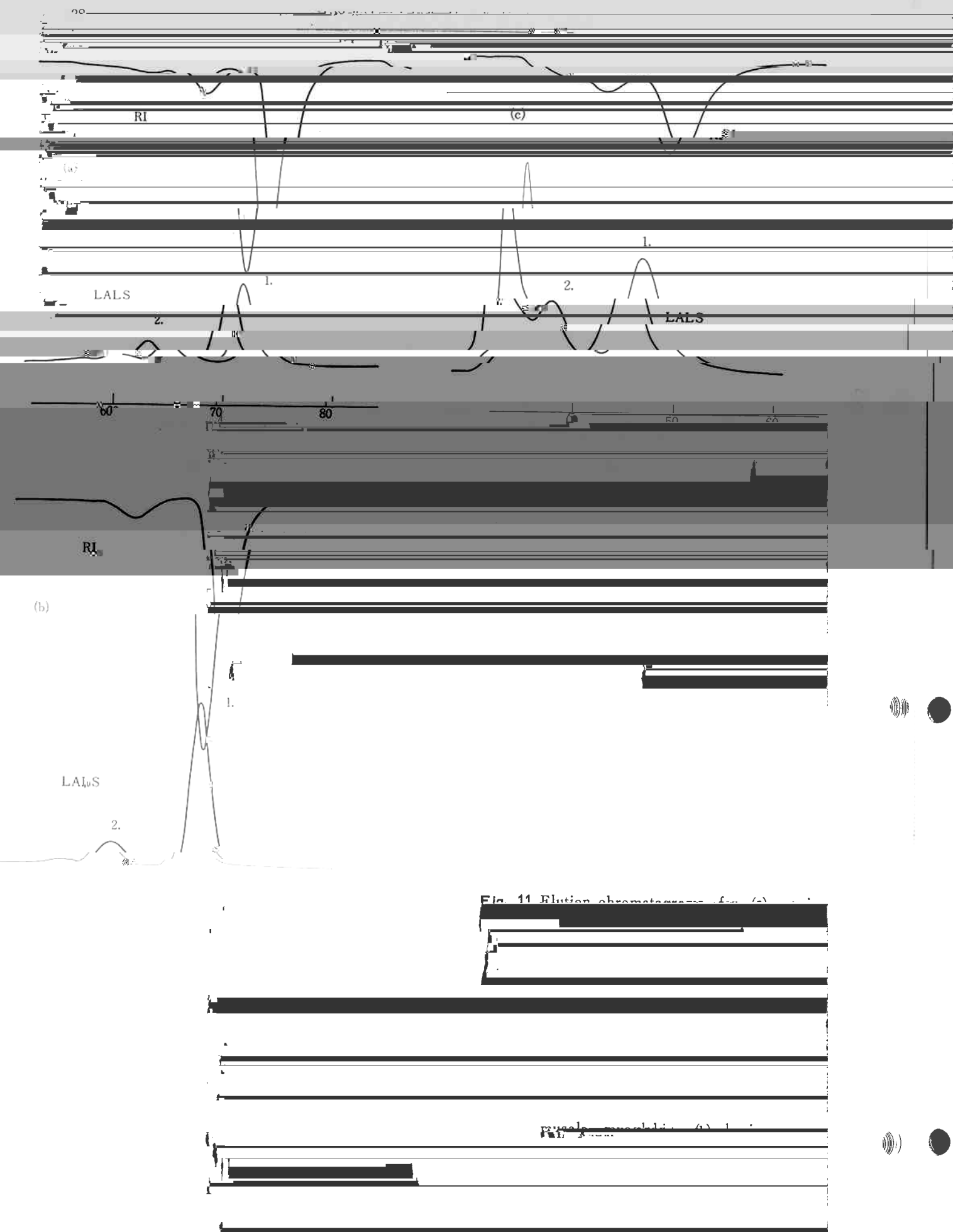


Fig. 11. Elution chromatograms for (a) and (b).

Protein

MW Standard (Da)

10⁴

(ピーク 1) の他に低溶出量側にサブピーク (ピーク 2)
が認められた。LS RI

Molecular Weight × 10⁻⁴

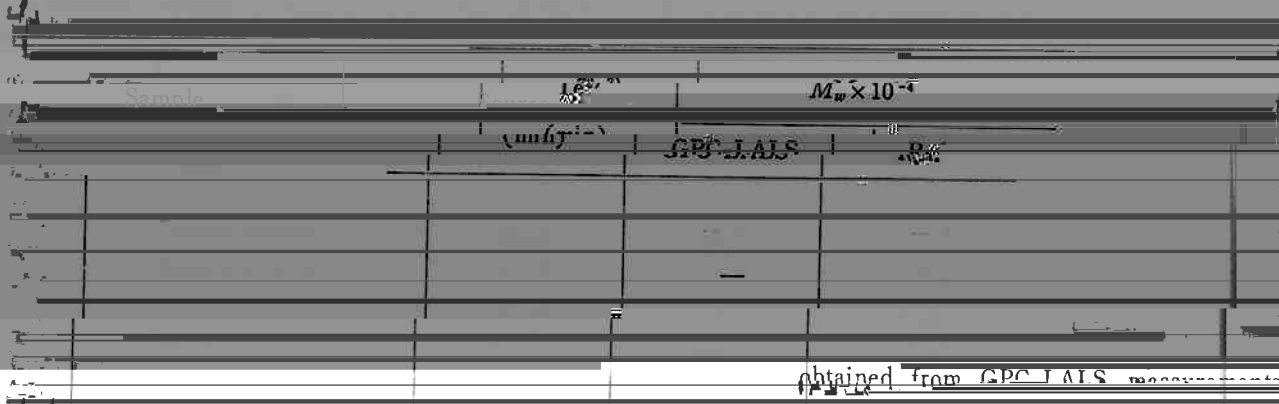
Ovalbumin

= 4.03 4.4

PC GEL



Fig. 12. Elution chromatogram.



GPC-光散乱測定による水溶性高分子の分子量分布

表については当社の「データシート」をご覧ください。